

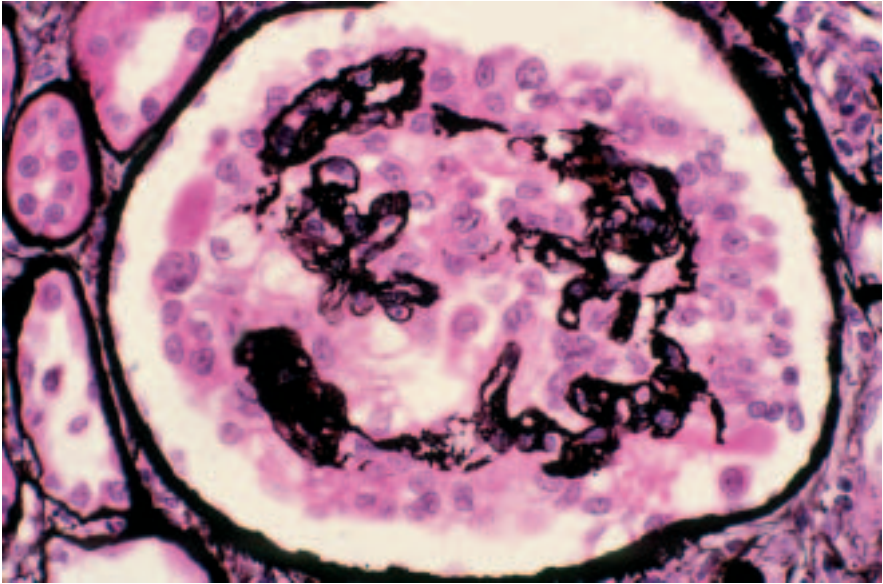
Glomérulopathies avec collapsus du flocculus

FIG. 1. — Glomérulopathie avec collapsus.

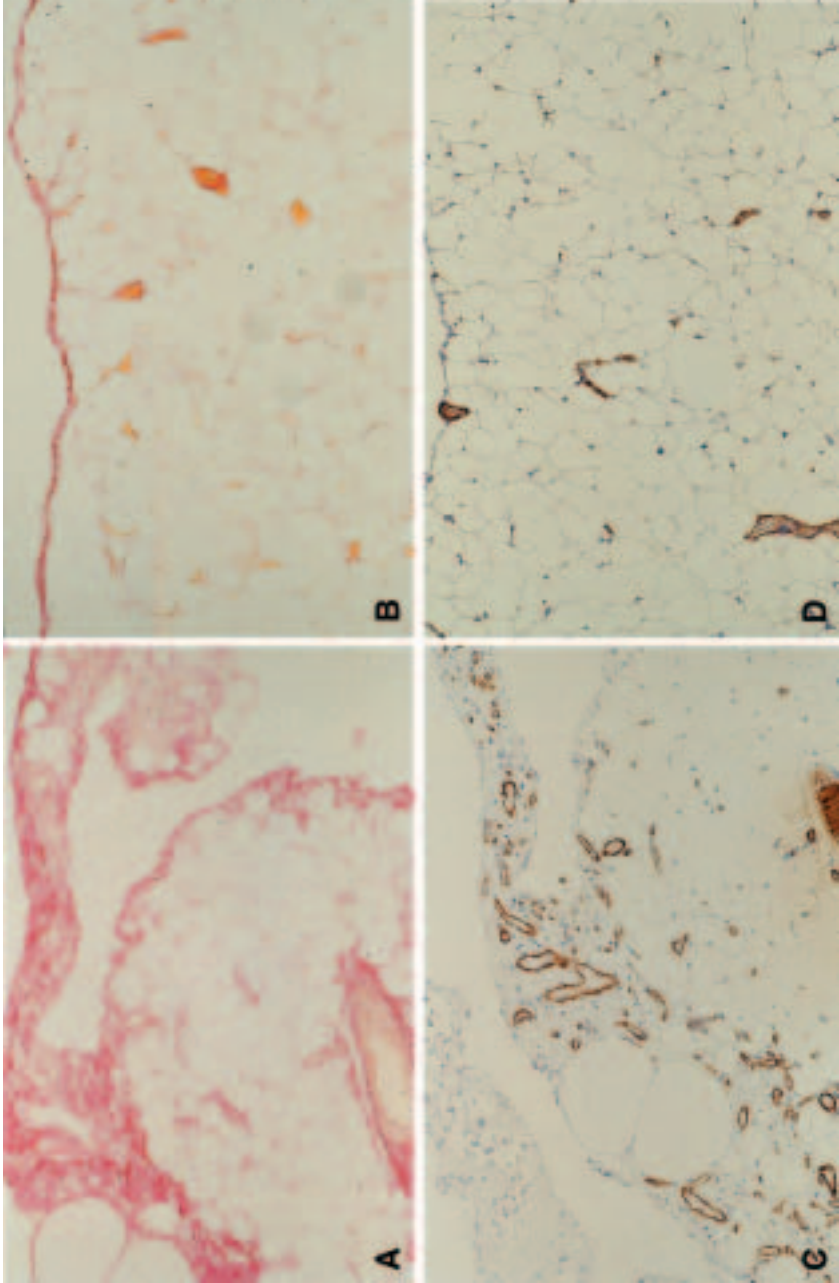
Physiopathologie de la membrane péritonéale

FIG. 1. — Coupes de péritoine de rats contrôles (B et D) ou exposés pendant 16 semaines à une solution de dialyse (A et C). Coloration par le rouge sirius montrant la fibrose tissulaire (A et B), et de l' α -SMA (actine du muscle lisse) colorant les parois des vaisseaux (C et D).

Athérosclérose accélérée et calcifications vasculaires

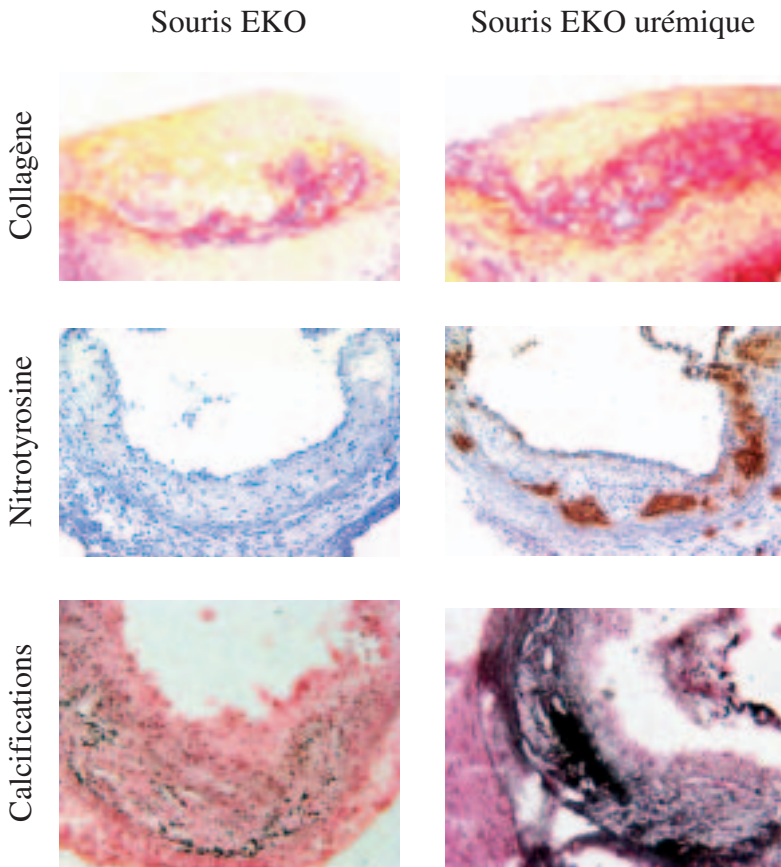


FIG. 1. — Exemple de l'enrichissement en collagène, en nitrotyrosine, et en dépôts calciques des lésions vasculaires des souris invalidées pour l'apolipoprotéine E (EKO) urémiques par rapport aux souris EKO non urémiques.

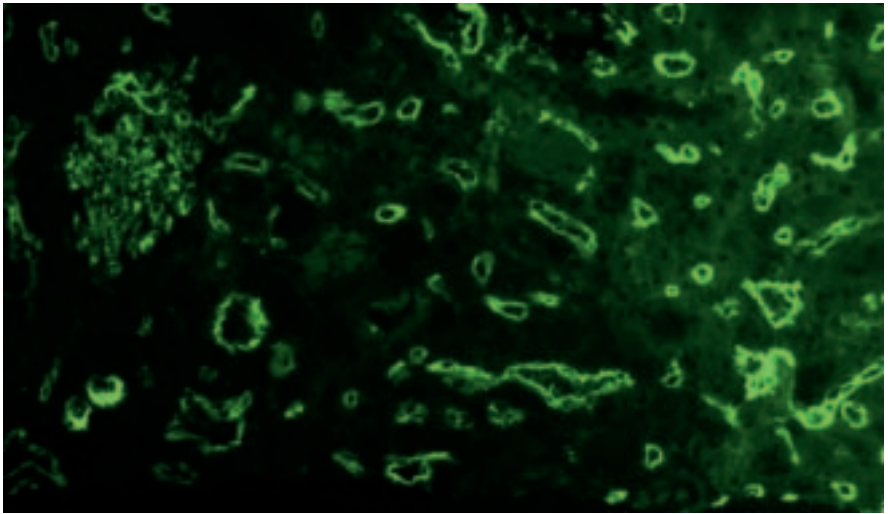
Rejet humoral dans les allogreffes d'organes

FIG. 1. — Immunofluorescence : marquage intense des capillaires péri-tubulaires par le C4d (avec, sur la gauche de l'image, présence d'une glomérule) (grossissement original x 40).

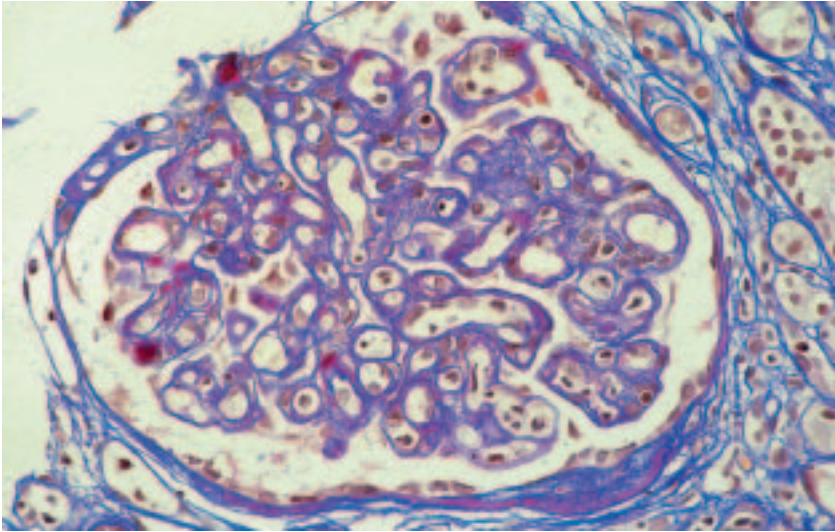
Rejet humoral dans les allogreffes d'organes (suite)

FIG. 3. — Microscopie optique : glomérulopathie chronique d'allogreffe avec dédoublement des membranes basales glomérulaires (coloration trichrome, grossissement original x 40).



FIG. 4. — Microscopie électronique: multiplication et lamellation de la membrane basale d'un capillaire péri-tubulaire capillaire. Présence de cellules inflammatoires dans la lumière capillaire avec adhésion à la cellule endothéliale (grossissement original x 7000).